

# Mécanique des systèmes - Examen de fin de semestre 1

Jeudi 01/02/2024 – Durée 2h (10h-12h)

## Etude cinématique de deux malaxeurs

Documents autorisés : 2 pages A4 de formulaire personnel ; calculatrice ; tableau des liaisons standard.

Les parties 1 et 2 sont indépendantes. Le barème fourni est indicatif.

### 1 MALAXEUR 3D : ETUDE ANALYTIQUE (~13PTS)

Le malaxeur étudié dans cette première partie peut être utilisé dans le domaine de l'agroalimentaire mais également d'autres industries (chimie, bâtiment).

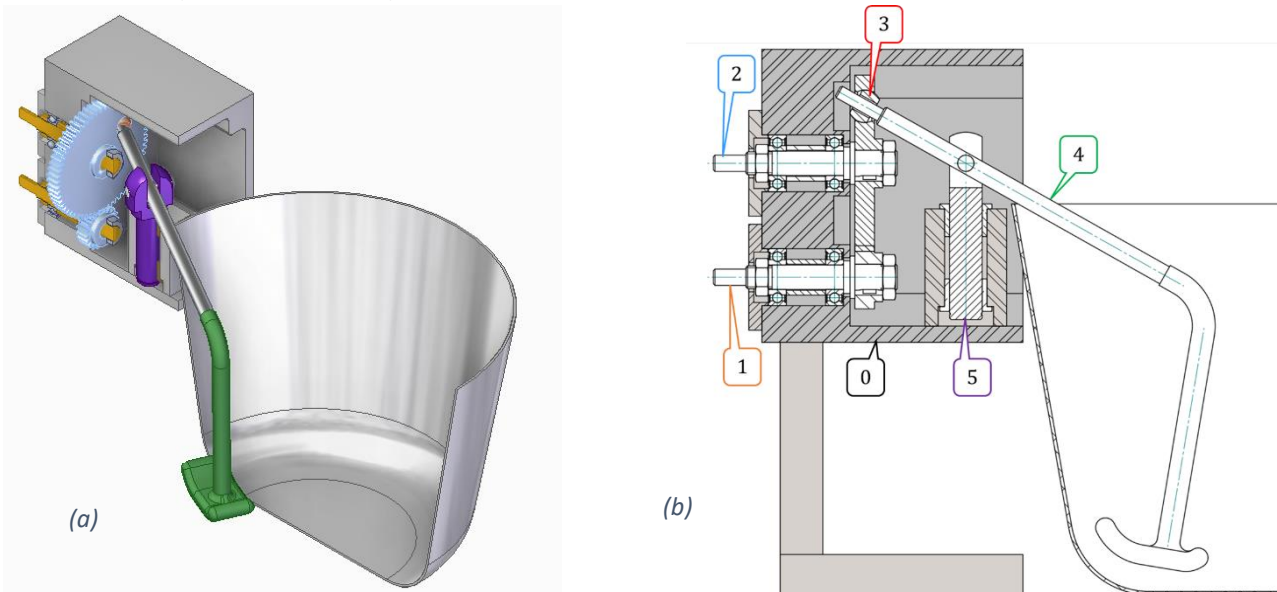


Figure 1. (a) Modèle CAO du malaxeur (b) Dessin d'ensemble en coupe du malaxeur

Le mécanisme du système, illustré figure 1 et schématisé en figure 2 (Annexe 1) est constitué de 5 solides rigides :

- un pignon  $S_1$  en liaison pivot d'axe  $(A, \vec{x}_{0,1})$  avec le bâti  $S_0$ .  
*Paramètre de mouvement 1/0 :  $\alpha_1 = (\vec{y}_0, \vec{y}_1)$ .*
- une roue dentée  $S_2$  qui est :
  - o d'une part, en liaison pivot d'axe  $(C, \vec{x}_{0,2})$  avec le bâti  $S_0$ .  
*Paramètre de mouvement 2/0 :  $\alpha_2 = (\vec{y}_0, \vec{y}_2)$ .*
  - o d'autre part, en liaison de type engrènement en B avec le pignon  $S_1$  : le modèle associé sera un contact avec roulement sans glissement.  
*Cette liaison n'est pas paramétrée.*
- un solide  $S_3$  qui est en liaison rotule de centre D avec la roue dentée  $S_2$ .  
*Cette liaison n'est pas paramétrée.*
- un arbre  $S_5$  en liaison pivot d'axe  $(E, \vec{z}_{0,5})$  avec le bâti  $S_0$ .  
*Paramètre de mouvement 5/0 :  $\theta = (\vec{x}_0, \vec{x}_5)$ .*
- une spatule  $S_4$  de centre de masse  $G_4$  et d'extrémité  $M$ . Qui est :
  - o d'une part, en liaison glissière de direction  $\vec{x}_{3,4}$  avec le solide  $S_3$ .  
*Paramètre de mouvement 4/3 :  $x$  tel que  $\vec{DE} = x\vec{x}_{3,4}$ .*
  - o d'autre part en liaison pivot d'axe  $(E, \vec{y}_{5,4})$  avec l'arbre  $S_5$ .  
*Paramètre de mouvement 4/5 :  $\beta = (\vec{z}_5, \vec{z}_4)$ .*

Les données géométriques du problème sont fournies en figure 2. Le pignon  $S_1$  constitue l'entrée du mécanisme. Il est entraîné par un moteur qui n'est pas représenté ici. Le mouvement de sortie est le mouvement 3D de la spatule  $S_4$  qui va permettre le malaxage.

**1.1 ETUDE PRELIMINAIRE**

1. Tracer le graphe des liaisons et les figures de changement de base dans le cadre **fourni en annexe 1**.
2. Ecrire et développer la condition de roulement sans glissement en B.

Roulement sans glissement en B :  $\vec{V}(B, 2/1) = \vec{0}$

$$\Rightarrow \vec{V}(B, 2/0) - \vec{V}(B, 1/0) = \vec{0}$$

$$\Rightarrow \vec{V}(C, 2/0) + \overrightarrow{BC} \wedge \overrightarrow{\Omega_{2/0}} - (\vec{V}(A, 1/0) + \overrightarrow{BA} \wedge \overrightarrow{\Omega_{1/0}}) = \vec{0}$$

$$\Rightarrow R_2 \overrightarrow{z_0} \wedge \alpha_2 \overrightarrow{x_{0,1,2}} + r_1 \overrightarrow{z_0} \wedge \alpha_1 \overrightarrow{x_{0,1,2}} = \vec{0}$$

$$\Rightarrow (R_2 \alpha_2 + r_1 \alpha_1) \overrightarrow{y_0} = \vec{0}$$

$$\Rightarrow (R_2 \alpha_2 + r_1 \alpha_1) \overrightarrow{y_0} = \vec{0}$$

$$\Rightarrow \boxed{R_2 \alpha_2 = -r_1 \alpha_1} \text{ Eq° n°1}$$

3. Ecrire et développer la condition de liaison entre  $S_2$  et  $S_3$  (les projections seront faites dans la base 0).

Liaison rotule de centre D entre 2 et 3. Condition de liaison :  $\overrightarrow{D_2 D_3} = \vec{0}$

$$\Rightarrow \overrightarrow{D_2 C} + \overrightarrow{CE} + \overrightarrow{ED_3} = \vec{0}$$

$$\Rightarrow -b \overrightarrow{z_2} + a \overrightarrow{x_0} - x \overrightarrow{x_{3,4}} = \vec{0}$$

$$\Rightarrow -b \overrightarrow{z_2} + a \overrightarrow{x_0} - x \cos \beta \overrightarrow{x_5} + x \sin \beta \overrightarrow{z_{5,0}} = \vec{0}$$

$$\Rightarrow \begin{cases} \overrightarrow{x_0} & a - x \cos \beta \cos \theta = 0 & \text{Eq° n°2} \\ \overrightarrow{y_0} & b \sin \alpha_2 - x \cos \beta \sin \theta = 0 & \text{Eq° n°3} \\ \overrightarrow{z_0} & -b \cos \alpha_2 + x \sin \beta = 0 & \text{Eq° n°4} \end{cases}$$

4. Donner le degré de mobilité du système.

Il y a 5 paramètres de mouvement et 4 équations les reliant, le degré de mobilité vaut donc 1.

$$\boxed{m = 5 - 4 = 1}$$

 INSTITUT NATIONAL DES SCIENCES APPLIQUÉES LYON	Département FIMI 2 <sup>ème</sup> année	NOM	PRENOM

## 1.2 TORSEURS CINEMATIQUES

Les questions précédentes ont permis d'établir les relations entre paramètres. On analyse désormais les différents mouvements.

5. Donner la nature du mouvement 1/0 et en déduire la nature du torseur cinématique du mouvement 1/0.  
Exprimer le torseur cinématique du mouvement 1/0 au point A.

Liaison 1/0 : pivot. Le mouvement 1/0 est donc une **rotation** autour de l'axe  $(A, \overrightarrow{x_{0,1}})$ . Le torseur correspondant est un **GLISSEUR**.

$$\{\mathcal{V}_{1/0}\}_A = \left\{ \begin{array}{c} \overrightarrow{\Omega}_{1/0} \\ \overrightarrow{V}(A, 1/0) \end{array} \right\}_A = \left\{ \begin{array}{c} \alpha_1 \overrightarrow{x_{0,1,2}} \\ \vec{0} \end{array} \right\}_A$$

6. Exprimer le torseur cinématique du mouvement 2/0 au point D. Quelle est la trajectoire du point D dans son mouvement par rapport à 0 ?

Calcul de la vitesse de D dans le mouvement 2/0 :

$$D \in 2 \Rightarrow \overrightarrow{V}(D, 2/0) = \overrightarrow{V}(D/0) = \left[ \frac{d}{dt} \overrightarrow{CD} \right]_0 = \left[ \frac{d}{dt} b \overrightarrow{z_2} \right]_0 = -b \alpha_2 \overrightarrow{y_2}$$

Finalement,

$$\{\mathcal{V}_{2/0}\}_D = \left\{ \begin{array}{c} \overrightarrow{\Omega}_{2/0} \\ \overrightarrow{V}(D, 2/0) \end{array} \right\}_D = \left\{ \begin{array}{c} \alpha_2 \overrightarrow{x_{0,1,2}} \\ -b \alpha_2 \overrightarrow{y_2} \end{array} \right\}_D$$

Trajectoire : D décrit des cercles de centre C et de rayon b dans le plan  $(C, \overrightarrow{y_0}, \overrightarrow{z_0})$ .

7. Exprimer le torseur cinématique du mouvement 2/1 au point B. Identifier les vecteurs roulement et pivotement associés.

On a vu que  $\overrightarrow{V}(B, 2/1) = \vec{0}$  (Condition de roulement sans glissement)

$$\{\mathcal{V}_{2/1}\}_B = \left\{ \begin{array}{c} \overrightarrow{\Omega}_{2/1} \\ \overrightarrow{V}(B, 2/1) \end{array} \right\}_B = \left\{ \begin{array}{c} \overrightarrow{\Omega}_{2/0} - \overrightarrow{\Omega}_{1/0} \\ \vec{0} \end{array} \right\}_B = \left\{ \begin{array}{c} (\alpha_2 - \alpha_1) \overrightarrow{x_{0,1,2}} \\ \vec{0} \end{array} \right\}_B$$

Pivotement :  $\overrightarrow{P}_{2/1}(B) = (\overrightarrow{\Omega}_{2/1} \cdot \overrightarrow{z_0}) \overrightarrow{z_0} = \vec{0}$

Roulement :  $\overrightarrow{R}_{2/1}(B) = \overrightarrow{\Omega}_{2/1} - \overrightarrow{P}_{2/1}(B) = \overrightarrow{\Omega}_{2/1} = (\alpha_2 - \alpha_1) \overrightarrow{x_{0,1,2}}$

 INSTITUT NATIONAL DES SCIENCES APPLIQUÉES LYON	Département FIMI 2 <sup>ème</sup> année	NOM	PRENOM

8. Donner la nature du mouvement 4/3 et en déduire la nature du torseur cinématique du mouvement 4/3.  
Exprimer le torseur cinématique du mouvement 4/3 au point E.

Liaison 4/3 : glissière. Le mouvement 4/3 est donc une translation rectiligne de direction  $\vec{x}_{3,4}$ . Le torseur associé est un COUPLE.

$$\{v_{4/3}\}_E = \left\{ \begin{array}{c} \vec{0} \\ \dot{x}\vec{x}_{4,3} \end{array} \right\}_{E \text{ ou } \forall pt}$$

La spatule  $S_4$  constitue la sortie du mécanisme, la description du mouvement 4/0 permet de caractériser le mouvement de malaxage.

9. Expression du torseur cinématique du mouvement 4/0 :  
a. exprimer ses éléments de réduction au point E.

$$\{v_{4/0}\}_E = \left\{ \begin{array}{c} \vec{\Omega}_{4/0} \\ \vec{V}(E, 4/0) \end{array} \right\}_E = \left\{ \begin{array}{c} \dot{\beta}\vec{y}_{5,4,3} + \dot{\theta}\vec{z}_{0,5} \\ \vec{0} \end{array} \right\}_E$$

En effet,  $\vec{\Omega}_{4/0} = \vec{\Omega}_{4/5} + \vec{\Omega}_{5/0} = \dot{\beta}\vec{y}_{5,4,3} + \dot{\theta}\vec{z}_{0,5}$

Et  $\vec{V}(E, 4/0) = \vec{0}$  car E est fixe dans  $R_0$ .

- b. exprimer la vitesse du point M, extrémité de la spatule, par rapport à 0. Donner le résultat dans la base liée au solide 4, en fonction des paramètres  $\beta$  et  $\theta$ , de leurs dérivées par rapport au temps et des données géométriques du problème.

$$\begin{aligned} \vec{V}(M/0) &= \left[ \frac{d}{dt} \overline{EM} \right]_0 = \left[ \frac{d}{dt} (c\vec{x}_4 - d\vec{z}_4) \right]_0 = \vec{\Omega}_{4/0} \wedge (c\vec{x}_4 - d\vec{z}_4) \\ \Rightarrow \vec{V}(M/0) &= (\dot{\beta}\vec{y}_{5,4,3} + \dot{\theta}\vec{z}_{0,5}) \wedge (c\vec{x}_4 - d\vec{z}_4) \\ \Rightarrow \vec{V}(M/0) &= -c\dot{\beta}\vec{z}_4 - d\dot{\beta}\vec{x}_4 + c\dot{\theta}\cos\beta\vec{y}_{5,4} - d\dot{\theta}\sin\beta\vec{y}_{5,4} \end{aligned}$$

 INSTITUT NATIONAL DES SCIENCES APPLIQUÉES LYON	Département FIMI 2 <sup>ème</sup> année	NOM	PRENOM

c. sans effectuer de nouveaux calculs, donner la vitesse du point  $G_4$  par rapport à 0.

Vecteur position de la même forme  $c \leftrightarrow e$  et  $d \leftrightarrow f$

$$\Rightarrow \vec{V}(G_4/0) = -e\dot{\beta}\vec{z}_4 - f\dot{\beta}\vec{x}_4 + e\dot{\theta}\cos\beta\vec{y}_{5,4} - f\dot{\theta}\sin\beta\vec{y}_{5,4}$$

### 1.3 ANALYSE NECESSAIRE AU PREDIMENSIONNEMENT

Le dimensionnement du malaxeur implique le choix du moteur et de son régime de fonctionnement, le choix des coussinets dans la liaison pivot entre  $S_0$  et  $S_5$  ainsi que la connaissance des sollicitations sur la spatule  $S_4$ .

Tout d'abord, afin de choisir les coussinets de la liaison pivot entre  $S_5$  et  $S_0$ , on souhaite connaître la vitesse de rotation associée. La manipulation des équations de liaisons développées à la question 3 permet, entre-autre, d'établir la relation suivante :

$$\tan \theta = \frac{b}{a} \sin \alpha_2$$

10. Exprimer la vitesse angulaire  $\overrightarrow{\Omega}_{5/0}$  en fonction du paramètre d'entrée, de sa dérivée par rapport au temps et des données géométriques du problème.

*NB1 : Hypothèse liée au paramétrage : lorsque  $\alpha_1 = 0$ , alors  $\alpha_2 = 0$ .*

*NB2 : Rappel mathématique :  $\frac{d}{dx}(\tan x) = 1 + \tan^2 x$*

**Objectif :** exprimer  $\dot{\theta}$  en fonction du paramètre d'entrée  $\alpha_1$  et sa dérivée.  $\overrightarrow{\Omega}_{5/0} = \dot{\theta}\vec{z}_{0,5}$

Dérivée temporelle de l'équation fournie ci-dessus :

$$\dot{\theta}(1 + \tan^2 \theta) = \frac{b}{a} \dot{\alpha}_2 \cos \alpha_2$$

Pour avoir une expression de  $\dot{\theta}$  uniquement en fonction de  $\alpha_2$  et ses dérivées, on réinjecte l'équation fournie :

$$\Rightarrow \dot{\theta} \left( 1 + \frac{b^2}{a^2} \sin^2 \alpha_2 \right) = \frac{b}{a} \dot{\alpha}_2 \cos \alpha_2$$

$$\Rightarrow \dot{\theta} = \frac{b}{a} \frac{\dot{\alpha}_2 \cos \alpha_2}{\left( 1 + \frac{b^2}{a^2} \sin^2 \alpha_2 \right)}$$

On sait exprimer  $\alpha_2$  en fonction de  $\alpha_1$  grâce à l'équation de roulement sans glissement établie en question 2 :

$$\boxed{R_2 \dot{\alpha}_2 = -r_1 \dot{\alpha}_1} \text{ Eq° n°1}$$

$$\text{Donc } \dot{\alpha}_2 = -\frac{r_1}{R_2} \dot{\alpha}_1 \text{ et si on l'intègre (NB1) : } \alpha_2 = -\frac{r_1}{R_2} \alpha_1$$

$$\Rightarrow \dot{\theta} = -\frac{b}{a} \frac{\frac{r_1}{R_2} \dot{\alpha}_1 \cos \left( \frac{r_1}{R_2} \alpha_1 \right)}{\left( 1 + \frac{b^2}{a^2} \sin^2 \left( \frac{r_1}{R_2} \alpha_1 \right) \right)}$$

 INSTITUT NATIONAL DES SCIENCES APPLIQUÉES LYON	Département FIMI 2 <sup>ème</sup> année	NOM	PRENOM

Dans un deuxième temps, pour analyser les sollicitations sur la spatule, on souhaite lui appliquer le principe fondamental de la dynamique (notion qui sera abordée au semestre 4 en Mécanique des Systèmes) ce qui implique de déterminer l'accélération de son centre de masse  $G_4$ .

11. Calculer l'accélération du point  $G_4$  par rapport au repère fixe 0 en fonction de  $\beta, \theta$ , de leurs dérivées par rapport au temps et des données géométriques du problème. Pour simplifier son expression, et comme  $f \ll e$ , **on négligera  $f$** .

Si  $f \sim 0$ , alors :

$$\vec{V}(G_4/0) = -e\dot{\beta}\vec{z}_4 + e\dot{\theta} \cos \beta \vec{y}_{5,4}$$

Par définition :  $\vec{\Gamma}(G_4/0) = \left[ \frac{d}{dt} \vec{V}(G_4/0) \right]_0$  donc :  $\vec{\Gamma}(G_4/0) = \left[ \frac{d}{dt} \begin{pmatrix} 0 \\ e\dot{\theta} \cos \beta \\ -e\dot{\beta} \end{pmatrix} \right]_{4,0}$

Formule de la base mobile :

$$\begin{aligned} \vec{\Gamma}(G_4/0) &= \left[ \frac{d}{dt} \begin{pmatrix} 0 \\ e\dot{\theta} \cos \beta \\ -e\dot{\beta} \end{pmatrix} \right]_{4,4} + \vec{\Omega}_{4/0} \wedge \begin{pmatrix} 0 \\ e\dot{\theta} \cos \beta \\ -e\dot{\beta} \end{pmatrix}_4 \\ \vec{\Gamma}(G_4/0) &= \begin{pmatrix} 0 \\ e\ddot{\theta} \cos \beta - e\dot{\theta}\dot{\beta} \sin \beta \\ -e\ddot{\beta} \end{pmatrix}_4 + \begin{pmatrix} -\dot{\theta} \sin \beta \\ \dot{\beta} \\ \dot{\theta} \cos \beta \end{pmatrix}_4 \wedge \begin{pmatrix} 0 \\ e\dot{\theta} \cos \beta \\ -e\dot{\beta} \end{pmatrix}_4 \\ \vec{\Gamma}(G_4/0) &= \begin{pmatrix} 0 \\ e\ddot{\theta} \cos \beta - e\dot{\theta}\dot{\beta} \sin \beta \\ -e\ddot{\beta} \end{pmatrix}_4 + \begin{pmatrix} -e\dot{\beta}^2 - e\dot{\theta}^2 \cos^2 \beta \\ -e\dot{\beta}\dot{\theta} \sin \beta \\ -e\dot{\theta}^2 \sin \beta \cos \beta \end{pmatrix}_4 \end{aligned}$$

$$\boxed{\vec{\Gamma}(G_4/0) = \begin{pmatrix} -e\dot{\beta}^2 - e\dot{\theta}^2 \cos^2 \beta \\ e\ddot{\theta} \cos \beta - 2e\dot{\theta}\dot{\beta} \sin \beta \\ -e\ddot{\beta} - e\dot{\theta}^2 \sin \beta \cos \beta \end{pmatrix}_4}$$

 INSTITUT NATIONAL DES SCIENCES APPLIQUÉES LYON	Département FIMI 2 <sup>ème</sup> année	NOM	PRENOM

## 2 MALAXEUR 2D : ÉTUDE GRAPHIQUE (~7PTS)

On étudie désormais un second type de malaxeur alimentaire (image ci-contre) dont le mouvement s'effectue dans un plan. Les liaisons entre 0 et 2 en B, entre 2 et 1 en C, entre 1 et 4 en D, entre 3 et 4 en E et entre 0 et 3 en F sont des liaisons pivot parfaites et la liaison entre les solides 2 et 3 est un engrenement modélisé par un contact avec roulement sans glissement.



Le schéma cinématique de ce malaxeur est fourni en figure 3 (Annexe 2). Un motoréducteur entraîne le solide  $S_3$  en rotation dans le **sens horaire** à la vitesse de  $N_{3/0} = 4,5 \text{ tr/min}$ . Pour des conditions proches d'un pétrissage à la main, la vitesse de malaxage doit rester inférieure à **200 mm/s**. Par ailleurs, le mécanisme est tel que les mouvements des pièces sont **symétriques** par rapport au plan  $(D, \vec{y}, \vec{z})$ .

- a) Quelle hypothèse permet de garantir la symétrie des mouvements ? S'il existe, préciser le CIR (Centre Instantané de Rotation) du mouvement 2/3.

Le roulement sans glissement (RSG) au niveau du point I permet de garantir un mouvement symétrique.

Le CIR du mouvement 2/3 est le point I car l'hypothèse de RSG donne :  $\vec{V}(I, 2/3) = \vec{0}$

- b) On donne  $\vec{V}(E/0)$  (fig.3), justifier sa direction et son sens. Sachant que le rayon  $FE = 70 \text{ mm}$ , calculer sa norme.

$E \in 3 \Rightarrow \vec{V}(E/0) = \vec{V}(E, 3/0) \perp (FE)$  car 3/0 est un mouvement de rotation autour de F dans le sens horaire.

$$\underline{\text{AN}} : \|\vec{V}(E/0)\| = \|\vec{\Omega}_{3/0}\| * FE = 4,5 * \frac{2\pi}{60} * 70 = 33 \text{ mm/s}$$

Pour chacune des questions ci-après, les **tracés seront effectués sur la figure 3**, et les **justifications associées** seront fournies dans les cadres prévus à cet effet.

- c) En utilisant la particularité de ce système, tracer  $\vec{V}(C/0)$ .

Par symétrie, on déduit  $\vec{V}(C/0)$  de  $\vec{V}(E/0)$ .  
 $\vec{V}(C/0)$  est bien perpendiculaire à  $(BC)$ .

- d) En utilisant la particularité de ce système, caractériser la trajectoire du point D dans son mouvement par rapport à 0. Tracer la vitesse  $\vec{V}(D/0)$ .

D appartient au plan de symétrie, ce qui signifie que son mouvement est forcément contenu dans ce plan. Donc D décrit des segments de droite  $(I, \vec{y})$

On peut construire cette vitesse en utilisant l'équiprojectivité :  $\vec{V}(D, 4/0) \cdot \frac{\overline{DE}}{\|\overline{DE}\|} = \vec{V}(E, 4/0) \cdot \frac{\overline{DE}}{\|\overline{DE}\|}$  ou

$\vec{V}(D, 1/0) \cdot \frac{\overline{DC}}{\|\overline{DC}\|} = \vec{V}(C, 1/0) \cdot \frac{\overline{DC}}{\|\overline{DC}\|}$  encore en utilisant le CIR du mouvement 4/0 (en anticipant sur la q° suivante)

e) Construire le CIR du mouvement 4/0. Tracer la vitesse  $\overrightarrow{V(G/0)}$ .

Le CIR 4/0  $I_{40}$  est l'intersection des perpendiculaires à deux vitesses connues dans ce mouvement :

$$(I_{40}E) \perp \overrightarrow{V(E/0)} = \overrightarrow{V(E, 4/0)}$$

$$(I_{40}D) \perp \overrightarrow{V(D/0)} = \overrightarrow{V(D, 4/0)}$$

$\overrightarrow{V(G/0)}$ , perpendiculaire à  $(I_{40}G)$ , est ensuite obtenue à partir du CIR 4/0 par la méthode du triangle des vitesses.

f) Construire le CIR du mouvement 1/0.

On peut adopter la même stratégie avec  $\overrightarrow{V(D, 1/0)}$  et  $\overrightarrow{V(C, 1/0)}$

Ou construire le symétrique de  $I_{40}$ .

g) A partir de ce dernier résultat, tracer la vitesse  $\overrightarrow{V(A/0)}$ .

$$A \in 1 \Rightarrow \overrightarrow{V(A/0)} = \overrightarrow{V(A, 1/0)}$$

On peut ensuite construire le vecteur vitesse grâce au CIR de 1/0 ou alors par symétrie de  $\overrightarrow{V(G/0)}$

La vitesse de malaxage est définie comme la vitesse à laquelle les points A et G se rapprochent ou s'éloignent :

$$\overrightarrow{v_m} = \left[ \frac{d\overrightarrow{AG}}{dt} \right]_0 = \left[ \frac{d(\overrightarrow{AB} + \overrightarrow{BG})}{dt} \right]_0 = \overrightarrow{V(G/0)} - \overrightarrow{V(A/0)}$$

h) Tracer  $\overrightarrow{v_m}$  et donner sa norme. Respecte-t-on la condition de l'énoncé dans la configuration présentée ?

On construit la somme vectorielle.

AN :

	Mesure	Valeur
$\ \overrightarrow{V(E/0)}\ $	20 mm	33 mm/s
$\ \overrightarrow{v_m}\ $	90 mm	<b>~149 mm/s</b>

La condition de l'énoncé est bien **respectée**.

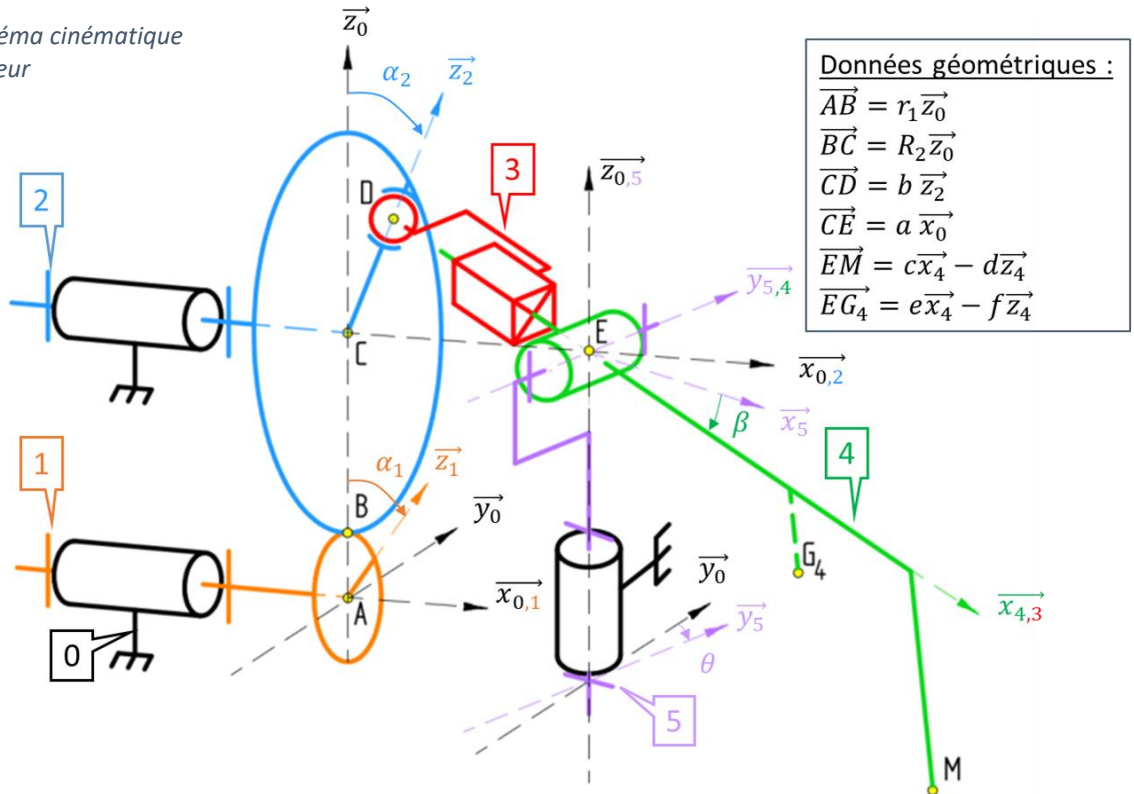
*On accepte une erreur de +-10%*

# ANNEXE 1 – Partie 1.

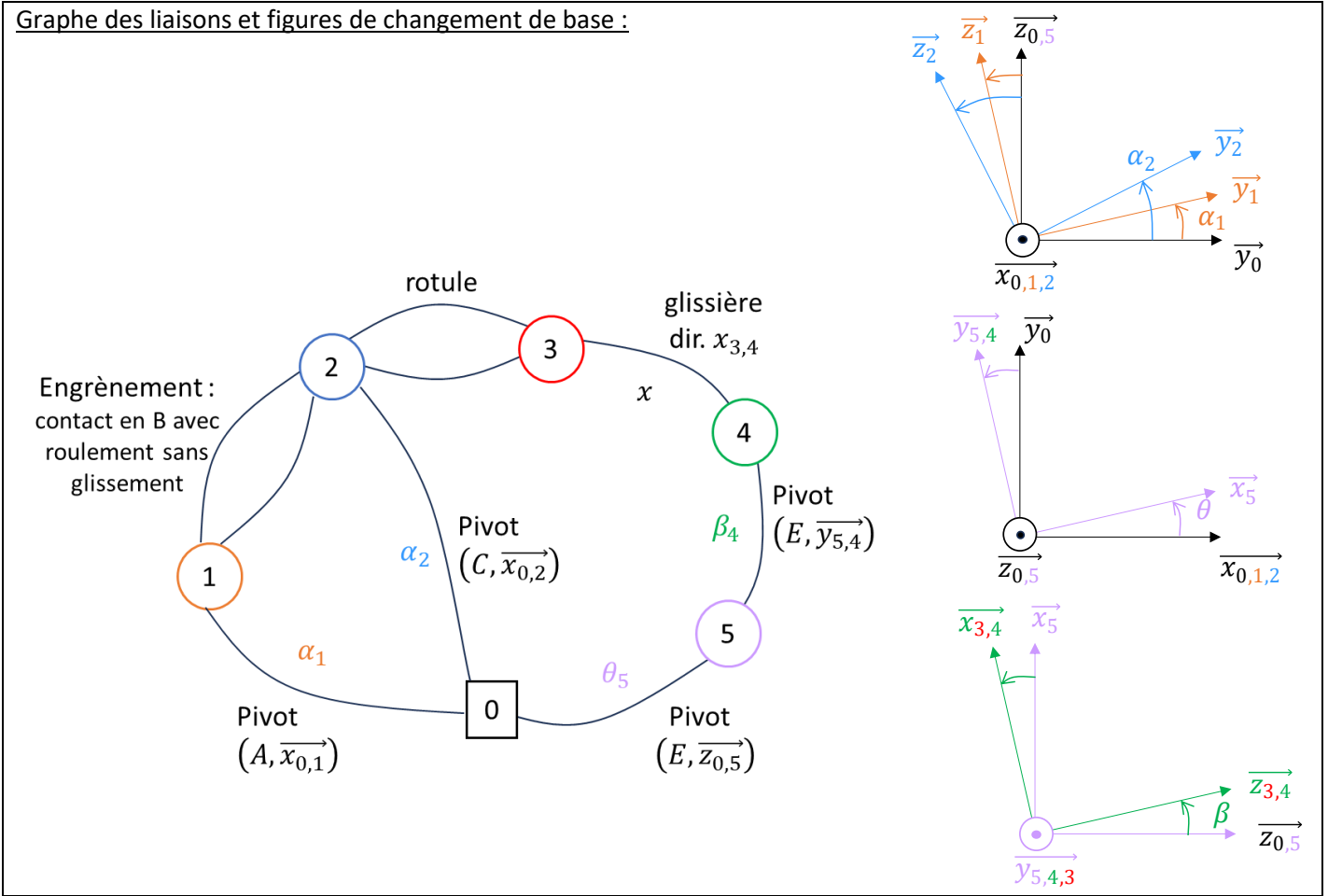
NOM

PRENOM

Figure 2. Schéma cinématique 3D du malaxeur



Graphe des liaisons et figures de changement de base :



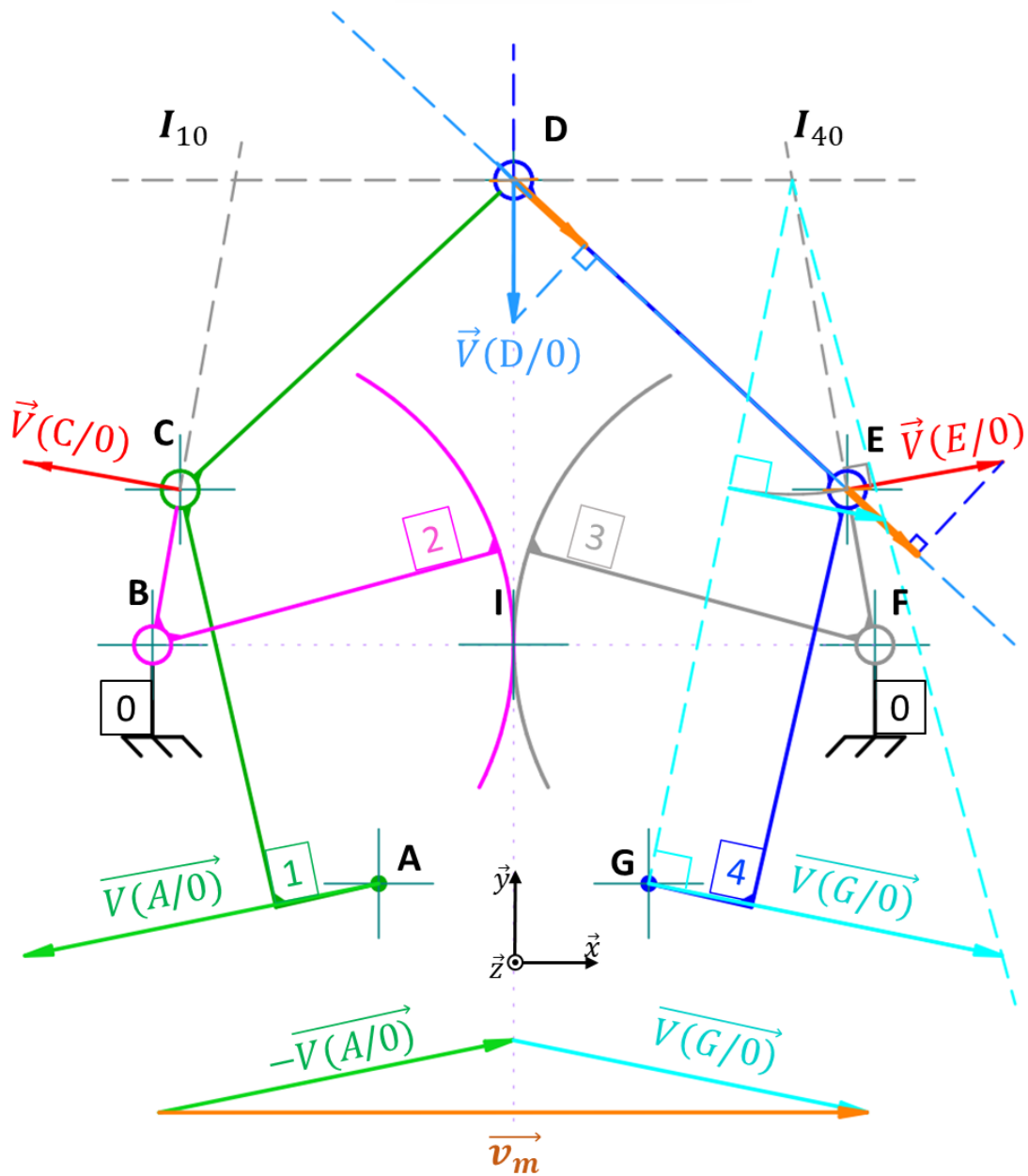


Figure 3 : Schéma cinématique plan du malaxeur